Materiewellen und Formfaktoren

a) $R_{\text{Atom}} \approx 1.73 \text{ Å}; \quad R_{\text{Kern}} \approx 7.5 \text{ fm}$ $\lambda_{\text{Atom}} = \frac{h}{\sqrt{2E_{\text{Atom}}m_{\alpha}}} \stackrel{!}{=} R_{\text{Atom}} \quad \Rightarrow \quad E_{\text{Atom}} = \frac{2m_{\alpha}R_{\text{Atom}}^2}{h^2} = \underline{0.007 \text{ eV}}$ $\lambda_{\text{Kern}} = \frac{h}{\sqrt{2E_{\text{Kern}}m_{\alpha}}} \stackrel{!}{=} R_{\text{Kern}} \quad \Rightarrow \quad E_{\text{Kern}} = \frac{2m_{\alpha}R_{\text{Kern}}^2}{h^2} = \underline{3.67 \text{ MeV}}$

b)

$$F(q^{2}) = \int_{\mathbb{R}^{3}} e^{\frac{iqx}{\hbar}} f(x) dx = \int_{0}^{2\pi} \int_{0}^{\pi} \int_{0}^{\infty} e^{\frac{iqr\cos(\theta)}{\hbar}} f(r)r^{2}\sin(\theta) dr d\theta d\varphi$$

$$= 2\pi \int_{0}^{\infty} f(r)r^{2} \int_{0}^{\pi} e^{\frac{iqr\cos(\theta)}{\hbar}} \sin(\theta) d\theta dr = 2\pi \int_{0}^{\infty} f(r)r^{2} \int_{-1}^{1} e^{\frac{iqru}{\hbar}} du dr$$

$$= 4\pi \int_{0}^{\infty} f(r)r^{2} \left(e^{\frac{iqr}{\hbar}} - e^{-\frac{iqr}{\hbar}} \right) \frac{\hbar}{2iqr} dr = 4\pi \int_{0}^{\infty} \frac{\sin(\frac{qr}{\hbar})}{\frac{qr}{\hbar}} f(r)r^{2} dr$$

c)
$$\langle r^2 \rangle = 4\pi \int_0^\infty r^4 f(r) \, dr; \quad \frac{\sin(\frac{qr}{\hbar})}{\frac{qr}{\hbar}} \approx 1 + \frac{r^2 q^2}{6\hbar^2}$$

$$F(q^2) \approx 4\pi \int_0^\infty f(r) \left(r^2 + \frac{r^4 q^2}{6\hbar^2} \right) dr = 4\pi \int_0^\infty f(r) r^2 \, dr + \langle r^2 \rangle \frac{6\hbar^2}{q^2} = 1 + \langle r^2 \rangle \frac{6\hbar^2}{q^2}$$

$$\Rightarrow \langle r^2 \rangle = \underline{\left(F(q^2) - 1 \right) \frac{q^2}{6\hbar^2}}$$

d)
$$f(r) = f_0 e^{-ar}$$

$$\int_{\mathbb{R}^3} f(\mathbf{x}) \, \mathrm{d}\mathbf{x} \stackrel{!}{=} 1 \quad \Longleftrightarrow \quad \int_0^\infty f_0 \, \mathrm{e}^{-ar} r^2 \, \mathrm{d}r = \frac{1}{4\pi} \quad \Longleftrightarrow \quad \underline{f_0 = \frac{a^3}{8\pi}}$$

e)
$$F(q^2) = (1 + \alpha^2)^{-2}$$

$$F(\mathbf{q}^2) = 4\pi \int_0^\infty \frac{\sin\left(\frac{qr}{\hbar}\right)}{\frac{qr}{\hbar}} f(r)r^2 dr = \frac{\hbar a^3}{2q} \int_0^\infty \sin\left(\frac{qr}{\hbar}\right) e^{-ar} r dr = \frac{a^4 \hbar^4}{\left(a^2 \hbar^2 + q^2\right)^2}$$
$$\Rightarrow \alpha(q, a) = \frac{q}{a\hbar}$$

Diese Ladungsverteilung beschreibt Protonen.

f)
$$f(r) = \begin{cases} \frac{3}{4\pi R_0^3} & \text{für } 0 \le r \le R_0 \\ 0 & \text{für } R_0 < r \end{cases}$$

$$F(q^2) = 4\pi \int_0^\infty \frac{\sin\left(\frac{qr}{\hbar}\right)}{\frac{qr}{\hbar}} f(r)r^2 dr = 3\frac{\hbar}{qR_0^3} \int_0^{R_0} \sin\left(\frac{qr}{\hbar}\right)r dr =$$

$$= 3\frac{\sin\left(\frac{qR_0}{\hbar}\right) - \frac{qR_0}{\hbar}\cos\left(\frac{qR_0}{\hbar}\right)}{\frac{q^3R_0^3}{\hbar^3}} = 3\frac{\sin(x) - x\cos(x)}{x^3} , \text{ mit } x(q) = \frac{qR_0}{\hbar}$$

Diese Ladungsverteilung wird in der Natur nicht wiedergefunden, man kann schwerere Kerne aber dadurch approximieren.

g)
$$x(0) = 0$$

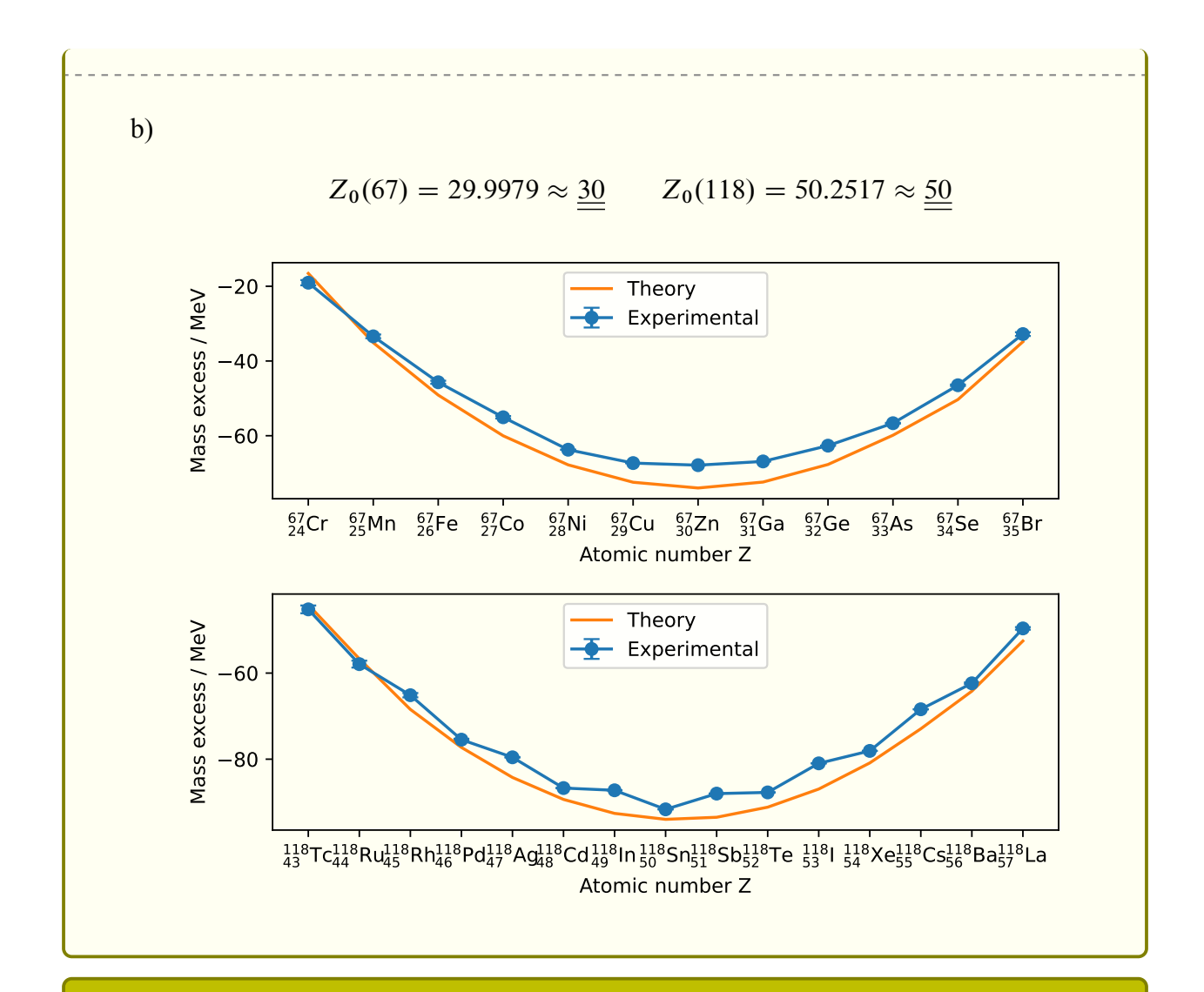
$$F(0) = \lim_{x \to 0} \left(3 \frac{\sin(x) - x \cos(x)}{x^3} \right) = 3 \lim_{x \to 0} \left(\frac{1}{x^2} \right) = \text{divergient gegen } \infty$$

Stabilstes Nuklid einer Isobare

$$M(A, Z) = Z(m_{\rm P} + m_{\rm e}) + (A - Z)m_{\rm N} - (a_{\rm V}A - a_{\rm S}A^{2/3} - a_{\rm C}Z^2A^{-1/3} - a_{\rm A}\frac{(A-2Z)^2}{A} + \delta a_{\rm P}A^{-1/2})c^{-2}$$

$$\frac{\partial M(A,Z)}{\partial Z} = m_{\rm P} + m_{\rm e} - m_{\rm N} - \left(\frac{4a_{\rm A}(A-2Z)}{A} - \frac{2a_{\rm C}Z}{A^{1/3}}\right)c^{-2} \stackrel{!}{=} 0$$

$$\Rightarrow Z_0(A) = \frac{4a_A - (m_P + m_e - m_N)c^2}{2A^{-1/3}(a_C + 4a_A A^{-2/3})}$$



Luminosität des LHC

a)
$$\sigma = 0.07$$
 b; $L_{\rm int} \approx 200$ 1/fb

$$L_{\rm int} = \int \frac{1}{\sigma} \frac{\mathrm{d}N}{\mathrm{d}t} \, \mathrm{d}t = \frac{N}{\sigma}$$

$$\Rightarrow N = L_{\rm int}\sigma = \underline{1.4 \times 10^{16}}$$

- b) Die meisten pp-Wechselwirkungen fanden 2018 statt.
 - Die integrierte Luminosität kann mit der Zeit nicht abnehmen, da weder die Targetanzahl N, noch der Fluss ϕ negativ werden und daher die zu integrierende Funktion strikt positiv ist.

- Der LHC läuft nicht durchgehend, was die Sattelpunkte in den Graphen erklärt. Zudem werden unterschiedliche Kollisionsexperimente durchgeführt (p-p, p-Pb, Pb-Pb), welche mit unterschiedlichen Targets und Flüssen arbeiten.